

**Corollary** Sea  $\nu_d: \mathbb{P}^n \rightarrow \mathbb{P}^m$  la  $d$ -ésima aplicación de Veronese y sean  $\{z_I : I = (i_0, \dots, i_n) \in \mathbb{Z}_{\geq 0}^{n+1}, \sum_{j=0}^n i_j = d\}$  las coordenadas homogéneas de  $\mathbb{P}^m$ ,  $m = \binom{n+d}{d}$ .

La variedad proyectiva  $W := \text{im}(\nu_d) \subset \mathbb{P}^m$  es definida por las ecuaciones

$$\{z_I z_J - z_K z_L : I, J, K, L \in \mathbb{Z}_{\geq 0}^{n+1}, I+J = K+L\}$$

### § 5.3 Aplicación de Segre y productos de variedades

**Recordar:** La topología de Zariski inducida como topología de producto en  $A^1 \times A^1$  no es la topología de Zariski en  $A^2$  ( $\Delta \subset A^2$  es cerrado =  $\mathbb{V}(x-y)$  pero  $\Delta \subset A^1 \times A^1$  cerrado  $\Rightarrow A^1$  es Hausdorff  $\nabla$ )

La aplicación de Segre es un embejamiento de  $\mathbb{P}^n \times \mathbb{P}^m$  como cerrado en un espacio proyectivo de dimensión más alta:

**Ejemplo:** La aplicación de Segre  $\Sigma_{1,1}: \mathbb{P}^1 \times \mathbb{P}^1 \rightarrow \mathbb{P}^3$  es definida

$$([s:t], [u:v]) \mapsto [su : sv : tu : tv]$$

Nota que es biendefinida (las coordenadas no se anulan simultáneamente y no depende del representante)

Además, su imagen es  $\mathbb{V}(xz - yw) \subset \mathbb{P}^3$ .

Localmente en  $U_s \times U_v \subset \mathbb{P}^1 \times \mathbb{P}^1$  observamos

$$([s:1], [u:1]) \mapsto [su : s : u : 1] \in \mathbb{P}^3$$

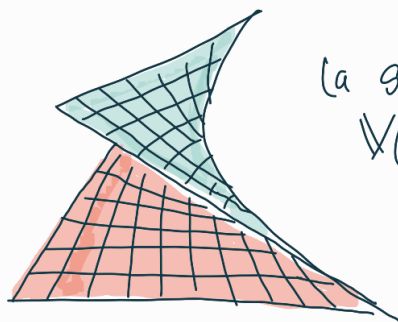
" " " "

$$(su, s, u) \in U_w$$

Fijando  $s = \lambda \in \mathbb{C}$  vemos que  $\{(\lambda u, \lambda, u) : u \in A^1\}$  es una línea en  $U_w \subset \mathbb{P}^3$ . Variando  $\lambda$  observamos que la imagen de  $\Sigma_{1,1}|_{U_s \times U_v} \subset \mathbb{P}^3$  es una familia de líneas disjuntas.

-lema popular  
en el examen general

Una superficie con esta propiedad se llama una **superficie reglada**. Intercambiando los roles de  $s$  y  $u$  llegamos a la misma observación:



la superficie reglada  
 $\forall (xw-yz) \in \mathbb{A}^3 = U_w \subset \mathbb{P}^3$

**Definición:** La **aplicación general de Segre**  $\Sigma_{m,n}$  es  
 $\mathbb{P}^m \times \mathbb{P}^n \longrightarrow \mathbb{P}^{(m+1)(n+1)-1}$

$$([x_0: \dots: x_m], [y_0: \dots: y_n]) \longmapsto [x_0 y_0: x_0 y_1: \dots: x_i y_j: \dots: x_m y_n]$$

$z_{00} \quad z_{01} \quad \dots \quad z_{ij} \quad \dots \quad z_{mn}$

Es decir, la imagen de  $\Sigma_{m,n}$  es de la forma

$$\begin{bmatrix} x_0 \\ \vdots \\ x_m \end{bmatrix} \begin{bmatrix} y_0 & \dots & y_n \end{bmatrix} = \begin{bmatrix} z_{00} & \dots & z_{0n} \\ \vdots & \ddots & \vdots \\ z_{m0} & \dots & z_{mn} \end{bmatrix}$$

**Teorema:** La imagen de la aplicación de Segre  $\Sigma_{m,n}$  es una variedad proyectiva definida por las **2-menores** de la matriz  $(z_{ij})_{i \in [0,m], j \in [0,n]}$  en  $\mathbb{P}^{(m+1)(n+1)-1}$ .

Además,

- $\Sigma_{m,n}$  es uno-a-uno. ( $\Sigma_{m,n}^{-1}(\rho t) = \rho t$ )
- la proyección  $[(z_{ij})] \mapsto [z_{0l}: z_{1l}: \dots: z_{ml}]$  induce un morfismo  $\text{im}(\Sigma_{m,n}) \rightarrow \mathbb{P}^m \quad \forall l \in [0,n]$
- la proyección  $[(z_{ij})] \mapsto [z_{k0}: z_{k1}: \dots: z_{kn}]$  induce un morfismo  $\text{im}(\Sigma_{m,n}) \rightarrow \mathbb{P}^m \quad \forall k \in [0,m]$ .

**Prueba:** La imagen de  $\Sigma_{m,n}$  escrita en forma de una matriz  $(m+1) \times (n+1)$  es

$$\begin{bmatrix} x_0 \\ \vdots \\ x_m \end{bmatrix} [y_0 \dots y_n] = \begin{bmatrix} z_{00} & \dots & z_{0n} \\ \vdots & & \vdots \\ z_{m0} & \dots & z_{mn} \end{bmatrix}$$

$\Rightarrow$  cada columna es un múltiplo de  $[x_0 \dots x_m]^T$

$\Rightarrow$  la matriz tiene rango 1.

$\Rightarrow$  los menores  $2 \times 2$  se anulan

Para verificar la inclusión opuesta consideramos un punto en  $\mathbb{P}^{(m+1)(n+1)-1}$  que satisface

$$z_{ij}z_{kl} - z_{il}z_{kj} = 0 \quad \forall \begin{matrix} 0 \leq i, k \leq m \\ 0 \leq j, l \leq n \end{matrix}$$

Escribiendo las coordenadas del punto en forma de una matriz vemos que todos sus  $2 \times 2$ -menores se anulan

$\Rightarrow$  la matriz es de rango 1

Por lo tanto  $\Rightarrow$  la matriz es de la forma  $\begin{pmatrix} x_0 \\ \vdots \\ x_m \end{pmatrix} [y_0 \dots y_n]$

donde  $(x_0, \dots, x_m)$  y  $(y_0, \dots, y_n)$  son determinadas bajo múltiples escalares.

Además, la matriz no puede ser cero (en  $\mathbb{P}^{(m+1)(n+1)-1}$ ) entonces tampoco  $[x_0, \dots, x_m]$  y  $[y_0, \dots, y_n]$  pueden ser cero.

$$\Rightarrow \text{Im}(\Sigma_{m,n}) = \bigvee \{ [z_{ij}z_{kl} - z_{il}z_{kj}] : i, k \in [0, m], j, l \in [0, n] \}$$

$\rightarrow$  También implica que  $\Sigma_{m,n}$  es 1-1.

Consideremos la proyección

$$\text{Im}(\Sigma_{m,n}) \xrightarrow{\pi_1} \mathbb{P}^m$$

$$[z_{ij}] \mapsto [z_{0j} \dots z_{mj}] \quad j \in [0, n]$$

Como las columnas solo difieren por un escalar la proyección es bien definida. Cambiando columnas por filas es análogo □